第31 卷 第5期

积液管道的影响分析

唐菁菁 张世忱

中国寰球工程公司,北京 100012

摘 要:为进一步了解管道积液对弯头和支架的冲击影响,通过建立物理模型,对管道中积液 运动过程进行详细分析,应用动量定理及流体力学相关原理,推导弯头受力与工艺介质物理参数、 流速之间的数学关系,得出冲击载荷与流速之间的函数曲线,结合工程简例计算说明积液影响,给 出降低积液危害的建议,为管道防液击设计提供基础理论参考。

关键词:积液;管道;冲击载荷;柱塞流

DOI: 10.3969/j.issn.1006-5539.2013.05.006

0 前言

在工厂生产运行中,由于温度波动、误操作、停车、 检修等原因,可能在管道中产生大量积液,当系统输入 工艺介质时,介质推动积液运动对管道弯头及支撑结构 产生冲击载荷,对管道系统造成一定危害。国内外大量 文献对水锤载荷的分析研究较为成熟,却极少提到积液 管道的影响[1-2]。为确保系统的安全和稳定,本文就此对 管道积液的运动过程和影响进行了探索性地分析和推 导,通过几个相对理想的积液管道模型,推导出冲击载 荷的理论解析值。

1 少量积液的管道受力分析

1.1 均匀介质的管道

不考虑管道内液体和气体的黏性作用,以弯头处微 段介质 dm 为研究对象进行受力分析(见图 1),设弯头给 dm 的推力 f 在 $x \setminus y$ 轴方向的分量为 $f_x \setminus f_y \setminus dm$ 给弯头的 推力 F 在 $x \setminus y$ 轴方向的分量为 $F_x \setminus F_y$,流入弯头的介质压 力为 p_o ,流出弯头的介质压力为p',介质密度为 ρ ,流速 v_0 , 管道截面积为 A, 得出:

$$dm = \rho \cdot dV = \rho \cdot A \cdot dl = \rho \cdot A \cdot v_0 \cdot dt \tag{1}$$

动量定理可以表述为

$$\sum F \cdot dt = dm \cdot v_t - dm \cdot v_0 \tag{2}$$

x、y方向分别应用动量定理^[3],并应用牛顿第三定律

$$F_{x} = -f_{x} = -(p' + \rho v_{0}^{2}) A + (p_{0} + \rho v_{0}^{2}) A \cos\theta$$
(3)

$$F_{y} = -f_{y} = (p_{0} + \rho v_{0}^{2}) A \sin\theta \tag{4}$$

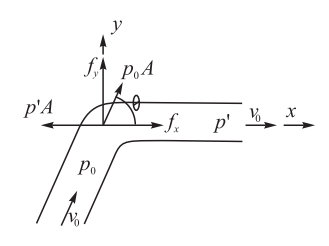


图 1 微段介质 dm 的受力分析

1.2 存有少量积液的管道

如果管内只有少量积液(见图 2),积液前后气体连 通,压力保持一致,即 $p_0=p'$ 。积液在气体推动下做加速运 动,假设积液冲击弯头的速度为 $v_{\bar{\alpha}}$,积液密度为 $\rho_{\bar{\alpha}}$,气体 密度为 ρ_{E} 。少量积液冲击弯头瞬时,假设在某一方向上, 液体跟弯头接触面积为 $A_{\bar{\alpha}}$,气体与弯头接触面积 $A_{\bar{\gamma}}$,则A液+A = A。由式(3)可知介质对弯头的推力为

$$F_{x} = -(p_{0} + \rho v_{0}^{2}) A (1 - \cos \theta)$$

$$= -p_{0} A (1 - \cos \theta) - \rho v_{0}^{2} A (1 - \cos \theta)$$
(5)

其中 $p_0 A (1-\cos\theta)$ 项是静压力, $\rho v_0^2 A (1-\cos\theta)$ 项是介 质对管道的冲力,夹杂少量积液的介质对管道的推力 2013年10月

 $F_x = -p_0 A (1-\cos\theta) - \rho_{\tilde{m}} v_{\tilde{m}}^2 A_{\tilde{m}} (1-\cos\theta) - \rho_{\tilde{m}} v_0^2 A_{\tilde{m}} (1-\cos\theta)$

同理由式(4)可得:

$$F_{v} = (p_{0}A + \rho_{\bar{m}} v_{\bar{m}}^{2} A_{\bar{m}} + \rho_{\bar{n}} v_{0}^{2} A_{\bar{n}}) \sin\theta$$
 (7)

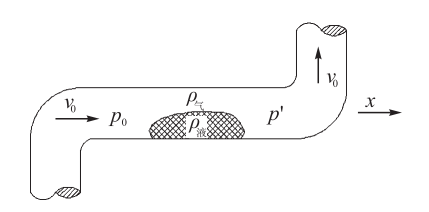


图 2 存有少量积液的管道

2 存有大量积液的管道

2.1 过程分析

如果管道存有大量积液,如柱塞流(见图 3),那么积液前后气体不连通,压力也可能不同,则 $p_0 \neq p'$ 。

假设通入气体初始, 积液速度为 0, 积液在压差的作用下做加速运动。将积液之后速度为 v_0 的气体按照质量分成 n 等份 $dm=dm_1=dm_2=dm_3=.....=dm_{n-1}=dm_n$, n 趋于无限大。假设通入气体均匀,各微段密度均为 $\rho_{\stackrel{\epsilon}{}_1}$,则 dm 所占用管线长度为: $dx=dx_1=dx_2=dx_3=.....=dx_{n-1}=dx_n$,且 $dm=dm_1=.....=dm_n$,则有 $\rho_{\stackrel{\epsilon}{}_1}$ A $dx=\rho_{\stackrel{\epsilon}{}_1}$ A $dx_1=......=\rho_{\stackrel{\epsilon}{}_1}$ A dx_n 。

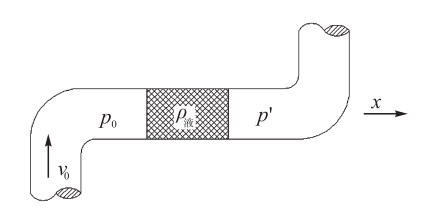


图 3 存有大量积液的管道

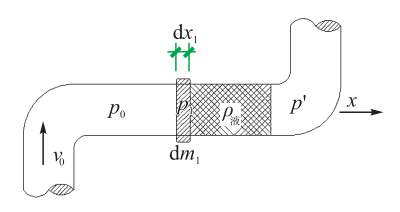


图 4 dt,时段分析微段 dm,气体

a) dt_1 时段(见图 4), dm_1 气体被压缩,瞬时升压为 p_1 ,气体速度由 v_0 变为 v_1 =0, dm_1 气体刚刚接触积液时,速度为 v_0 ,积液速度为0,该瞬时积液相当于关闭的阀门,由水锤波的推导公式可知,可压缩流体的波速^[4-5]表达式为

$$a = \frac{1}{\sqrt{\rho_{\text{eq}}(\frac{D}{F_o} + \frac{1}{K})}} = \sqrt{\frac{K}{\rho_{\text{eq}}}} \frac{1}{\sqrt{1 + \frac{KD}{F_o}}}$$
(8)

式中:K 为介质体积模量,Pa;E为管壁弹性模量,Pa;D为

管径,mm;e为管壁厚,mm。

此时流体波在 dx_1 中传播,且 $dx_1=adt_1$,由式(8)可知,a与介质速度无关,因此, $dt=dt_1=dt_2=.....=dt_{n-1}=dt_n$ 即 $dx=adt_0$ 。

以 dm_1 为研究对象, dm_1 = $\rho_{\in}A\,dx_1$,对 dm_1 受力分析,设积液给 dm_1 的推力为 F_{01} 。

由动量定理

$$(-F_{01} + p_0 A) dt_1 = dm_1 \cdot v_1 - dm_1 \cdot v_0$$

$$\tag{9}$$

将 $dm=\rho_{\in}A\,dx$,dx=adt代入可得,

$$F_{01} = p_0 A + \rho_{=} A a(v_0 - v_1) = p_1 A \tag{10}$$

$$p_1 = p_0 + \rho_{=} a(v_0 - v_1)$$
 (11)

b) dt_2 时段(见图 5),积液速度由 v_1 增加至 v_2 , dm_1 气体紧挨着液柱,速度也为 v_2 ,即 dm_1 速度开始增加,于是降压至 p_1 ;而 dm_2 速度由 v_0 减小至 v_2 ,与积液速度一致, dm_2 气体被压缩,压力升高至 p_2 。先以微小段 dm_1 为研究对象, F_{01} 为液柱对 dm_1 的作用力, F_{21} 为 dm_2 对 dm_1 的作用力,由动量定理:

$$(-F_{01}+F_{21})\mathrm{d}t_2=\mathrm{d}m_1\cdot v_2-\mathrm{d}m_1\cdot v_1 \tag{12}$$

$$-F_{01} + F_{21} = \rho_{\neq} A a(v_2 - v_1)$$
 (13)

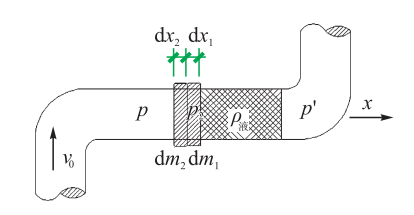


图 5 dt。时段分别分析微段 dm,、dm。气体

再以微小段 dm_2 为研究对象, F_{12} 为 dm_1 对 dm_2 的作用力,与 F_{21} 大小相等、方向相反。注意 F_{21} = F_{12} ,不取方向。动量定理可以表述为

$$(-F_{12} + p_0 A) dt_2 = dm_2 \cdot v_2 - dm_2 \cdot v_0$$

$$\tag{14}$$

$$-F_{21} + p_0 A = \rho_{\exists} A \, a(v_2 - v_0) \tag{15}$$

将式(13)、(15)相加得:

$$F_{01} = [p_0 + \rho_{eq} a(v_0 + v_1 - 2v_2)]A \tag{16}$$

$$p_2 = p_0 + \rho_{=} a(v_0 + v_1 - 2v_2) \tag{17}$$

同理分析dt3时段可得:

$$p_3 = p_0 + \rho_{=} a(v_0 + 2v_2 - 3v_3) \tag{18}$$

式(11)、(17)和(18)依次类推并取极限,得到液柱后被压缩或拉伸的气体压力为:

$$p = p_0 + \rho_{\neq} a(v_0 - v) \tag{19}$$

式中:p 为液柱之后被压缩或拉伸气体的压力,Pa;v 为液柱的速度,m/s; p_n 为 dt_n 时刻液柱之后被压缩或拉伸气体 dm_n 的压力, $Pa(n=1,2,3,\cdots)$; v_n 为 dt_n 时刻液柱的速度,m/s

 $s; F_{mn}$ 为 dm_m 气体微段对 dm_n 气体微段的推力, N_o

式(19)即为液柱之后的压力值,它随着液柱的速度 变化而发生变化。可以看出,当 $v=v_0$ 时, $p=p_0$,说明此时气 柱全部恢复原来的压力,液柱继续加速。当液柱前后压 差平衡时,液柱受到的合力为0,加速度为0,速度达到最 大值。若此时液柱的速度大于气体介质的速度 v_0 ,则积液 后面的气柱将被拉长,管壁直径变小,气体压力p将开始 减小,压差又不平衡了,液柱的加速度变为反向,速度开 始减小。

同理分析液柱减速过程,表达式与加速过程一致, 运动过程如此往复。

2.2 理论分析

由式(7)、(19)可知,介质对弯头的水平推力:

$$F_{x} = \left[p_{0} + \rho_{\tilde{q}} a(v_{0} - v) + \rho_{\tilde{w}} v^{2}\right] A \left(1 - \cos\theta\right)$$

$$\tag{20}$$

分析 θ =90°的情况,则:

$$F_{x} = \left[p_{0} + \rho_{eq} a(v_{0} - v) + \rho_{ijk} v^{2} \right] A \tag{21}$$

由式(21)看出,F,的表达式是一个开口向上的v-F,

二次函数曲线(见图 6)对称轴为 $v = \frac{\rho_{\in} a}{2\rho_{o...}}$,定义域为 $0 \le$

$$v \leqslant v_0 + \frac{p_0 - p'}{\rho_{\mathfrak{q}} a} \circ$$

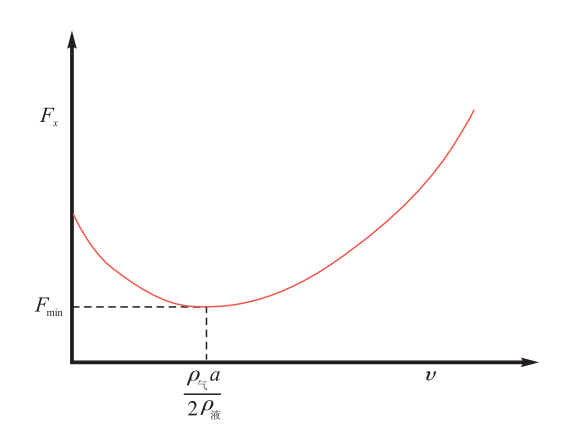
当v=0时,

$$F_{=}=(p_{o}+\rho_{=}av_{o})A \tag{22}$$

当
$$v = \frac{\rho_{\text{n}}a}{2\rho_{\text{in}}}$$
时, F_x 取最小值,即:

$$F_{\chi_{\min}} = \left| p_0 + \rho_{\text{eq}} a v_0 - \frac{\rho_{\text{eq}}^2 a^2}{4\rho_{\text{sys}}} \right| A \tag{23}$$

由式(23)可以看出如果液柱在 $v=\frac{\rho_{i,a}}{2o_{i,a}}$ 时撞击弯头, 弯头受力最小。



无摩擦阻力时的 $v-F_x$ 二次函数曲线

$$F_{\nu} = (p_0 + \rho_{\text{tot}} v^2) A \tag{24}$$

当 $p=p_0+p_{\epsilon}a(v_0-v)=p'$ 时,液柱前后压差为0,在不考虑 摩擦阻力的情况下,液柱加速度为0,这是液柱达到最大 速度的时刻。

$$v_{\max} = v_0 + \frac{p_0 - p'}{\rho_{=} a} \tag{25}$$

如果此时积液碰撞弯头,则有

$$F_{\chi_{\text{max}}} = p'A + \rho_{\text{i} \text{R}} A \left(v_0 + \frac{p_0 - p'}{\rho_{\text{i} \text{f}} a} \right)^2$$
 (26)

对于大量的积液来讲,液体黏性对液柱的速度影响 非常大,因此,需考虑积液的摩擦阻力。以液柱为研究对 象进行简要分析,通常积液冲击弯头的速度较大,液体 流动为湍流,故由于液体黏性产生的管壁对长度为 l 的 液柱摩擦阻力[6]为:

$$f = \frac{\lambda \cdot l \cdot v^2}{2D} = 0.05 \left(\frac{\varepsilon}{D} + \frac{68}{Re} \right)^{0.23} \cdot \frac{l}{D} \cdot v^2$$
 (27)

式(27)中的雷诺数Re值通常很大,摩擦力表达式因 此可简化为:

$$f=0.05\left(\frac{\varepsilon}{D}\right)^{0.23} \cdot \frac{l}{D} \cdot v^2$$
 (28)

以积液为研究对象进行受力分析可得:

$$pA - (p'A + f) = m_{iji} a_{iji}$$
 (29)

将式(19)代入式(29):

$$(p_0 - p')A + \rho_{=} aA (v_0 - v) - f = m_{\text{stat}} a_{\text{stat}}$$

$$(30)$$

将式(28)代入式(30):

$$(p_{0}-p')A + \rho_{eq}aA(v_{0}-v) - 0.05 \cdot \frac{l}{D} \cdot \left(\frac{\varepsilon}{D}\right)^{0.23}v^{2} = m_{\tilde{m}}a_{\tilde{m}}$$

$$(31)$$

积液以加速度 a_{ii} 做初速度为0的加速运动,并且随 着积液速度的增加,加速度逐渐减小,当 a_{in} =0时,积液速

$$v_{\text{max}} = \frac{-\rho_{\text{max}} aA + \sqrt{(\rho_{\text{max}} aA)^2 + \frac{l}{5D} \cdot (\frac{\varepsilon}{D})^{0.23} [\rho_{\text{max}} av_0 + (p_0 - p')]A}}{\frac{l}{10D} \cdot (\frac{\varepsilon}{D})^{0.23}}$$
(32)

式(32)为积液所能达到的最大速度,如果积液此时 撞击弯头,由式(21)可知,积液对弯头的冲击力为:

$$F_{\chi_{\text{max}}} = \left[p_0 + \rho_{\text{max}} a(v_0 - v_{\text{max}}) + \rho_{\text{min}} v_{\text{max}}^2 \right] A \tag{33}$$

由式(28)可知,此时的摩擦阻力大小可按照下式计 算:

$$f_{\text{max}} = 0.05 \left(\frac{\varepsilon}{D}\right)^{0.23} \cdot \frac{l}{D} \cdot v_{\text{max}}^2$$
 (34)

式中: ε 为绝对粗糙度,mm; λ 液体摩擦系数,无量纲。

此外, 当 $v=v_0$ 时, $p=p_0+\rho_{\epsilon}a(v_0-v)=p_0$, 在考虑摩擦阻力 的情况下,判别此时液柱的运动状态:

如果 $p_0A > f + p'A$,则此时液柱加速运动, $v_0 < v_{max}$;

如果 $p_oA = f + p'A$,则 $v_o = v_{max}$,液柱在气柱的推动下匀速 运动;

如果 $p_0A < f + p'A$,说明 $v_0 > v_{\text{max}}$,液柱达不到速度 v_0 的时 候就已处于平衡状态了,液柱达到速度 v_{max} 后匀速运动。

综上所述,在计算弯头受力时,根据管道走向确定 液柱撞击弯头的速度,或得出一个速度范围,则按照式 (21)计算可得到更真实的受力情况;如不能确定液柱撞 击弯头时的速度,那么保守的假定管道足够长,能够让 液柱在管道中有足够的时间和距离加速到最大速度vmx。

3 简例

a)某项目1根44 in.(1 in.=25.4 mm)碳钢水平管道,停 车积液管内液面高度为38 mm, 积液密度为640 kg/m³,压 力为0.13 MPa, 计算开车时以80 m/s的速度通入气体介 质时积液对弯头、固定支架的冲击力,其中气体密度为 4.32 kg/m^3

由积液高度38 mm可计算积液占管道截面面积为 10 251 mm², 气体介质占截面面积为940 081 mm²。积液撞 击弯头时的速度取决于管道的长度、气体介质的流速、 以及上游压力等各个因素,特别是积液被气体推动之后 产生的流态,具体情况非常复杂,很难计算出真实值。因 此,在没有足够的工艺条件或测速方法时,如果管道介 质流速很快,可以初步按照最苛刻的情况来考虑,假定 积液被高速气体带动起来,达到气体流速,那么依据式 (6)可知弯头受到介质推力为

$$F_x = -p_0 A - \rho_{\ddot{w}} v_{\ddot{w}}^2 A_{\ddot{w}} - \rho_{\ddot{v}} v_0^2 A_{\ddot{v}}$$

= -123 543 N-41 987 N-25 991 N
= -191 521 N

其中气态介质的冲击力大小为25 991 N, 积液对弯 头冲击力为41 987 N,内压给弯头的推力为123 543 N。水 平管道上的压力和气体介质在前后两个弯头上给管道 的推力可近似认为大小相等,方向相反。因此水平管弯 头上的介质推力为191 521 N,而水平管限位支架上承受 的冲击载荷应该是积液对弯头的冲击力造成的不平衡 力41 987 N,可认为这是少量积液冲击载荷的极限值。

由此可知,少量积液在高速气体冲击的情况下,可 能会给管道弯头带来较大的冲击载荷,在可预见的情况 下,应采取一定措施消除积液,或通过计算来保证管道 和支架的强度设计。

b)某项目1根4 in.的碳钢管道,壁厚8.56 mm,通入的 气态介质密度8.85 kg/m3, 压力0.51 MPa, 体积模量0.66 MPa,摩尔质量34 kg/kmol,气体介质流速0.21 m/s,管中存 有一段长3 m的积液, 积液下游段保持压力0.35 MPa,积 液密度为980 kg/m3, 管道材料弹性模量206 000 MPa,管 道粗糙度为0.3 mm。

根据式(8)可知,压力波速为:

$$a = \frac{1}{\sqrt{\rho_{\text{eq}}(\frac{D}{Ee} + \frac{1}{K})}} = \sqrt{\frac{K}{\rho_{\text{eq}}}} \frac{1}{\sqrt{1 + \frac{KD}{Ee}}} = 273 \text{ m/s}$$

根据式(23)可知,气体介质推动积液运动,当液体速 度达到 $v = \frac{\rho_{\text{t}}a}{2\rho_{\text{t}}} = 1.23 \text{ m/s}$ 时撞击弯头冲击力最小

$$F_{x_{\min}} = \left(p_0 + \rho_{\text{tot}} a v_0 - \frac{\rho_{\text{tot}}^2 a^2}{4\rho_{\text{tot}}} \right) A = 4 \text{ 126 N};$$

在不考虑摩擦阻力的情况下,如果水平管道足够 长,则根据式(25)得到液柱的最大速度为

$$v_{\text{max}} = v_0 + \frac{p_0 - p'}{\rho_{r} a} = 67 \text{ m/s}$$

由式(26)可知,积液对弯头的最大推力为

$$F_{\chi_{\text{max}}} = p'A + \rho_{\Re}A (v_0 + \frac{p_0 - p'}{\rho_0 - a})^2 = 37 882 \text{ N}$$

如果考虑管道给积液的沿程摩擦阻力,依据式(32) 液柱的最大速度则为:

$$v_{\text{max}} = \frac{-\rho_{\text{eq}} aA + \sqrt{(\rho_{\text{eq}} aA^2) + \frac{l}{5D} \cdot (\frac{\varepsilon}{D})^{0.23} [\rho_{\text{eq}} av_0 + (p_0 - p')]A}}{\frac{l}{10D} \cdot (\frac{\varepsilon}{D})^{0.23}}$$

=38 m/s

由式(33)得到弯头受到的介质推力为 $F_{\chi_{\text{max}}} = [p_0 + \rho_{\leq} a(v_0 - v_{\text{max}}) + \rho_{\tilde{\pi}} v_{\text{max}}^2] A = 14 847 \text{ N}$

由式(34),积液速度达到最大时,摩擦阻力大小为

$$f_{\text{max}} = 0.05 \left(\frac{\varepsilon}{D}\right)^{0.23} \cdot \frac{l}{D} \cdot v_{\text{max}}^2 = 557 \text{ N}$$

可以看出,管壁给大量积液的摩擦阻力对计算结果 影响异常显著,式(25)、(26)没有考虑摩擦阻力的影响, 过高地估计了管道积液的最大速度和介质施加给弯头 的最大推力。通过计算可以看出,尽管是1根4 in.的管道, 介质流速只有0.21 m/s, 当管道足够长的时候, 积液的速 度仍可能达到38 m/s; 如果我们假定通入气体介质的流 速为30 m/s,那么计算出来的积液最高速度为48 m/s。由 此说明,对于大量积液的管道而言,通入气体的速度对 于积液的影响并没有想象的那么大,因为气体有很强的

压缩性,积液与管壁之间有很大的摩擦阻力,以至于积 液速度对通入气体的速度敏感度大大降低。因此可知, 积液前后的压差对流速有更大影响,在工程应用中可以 通过系统整体升压来减小积液前后的压差,有效降低积 液速度。

此外,对于相同参数下的6 in.管道,计算得到的弯头 受力将接近60 000 N。虽然计算模型相对理想化,但这样 的结果在设计中应引起重视,特别是对于长输管道,必 要时应采取措施减小积液的影响,或加强管道固定支架 及基础结构的设计。

4 结论

a)在管道刚刚通入介质时,介质在流动过程中施予 管道支架的载荷与上游段弯头的受力相同。管道水平段 充满均匀介质之后,两端弯头均始终受到介质冲击力, 大小相等,方向相反,此时管道支架不再受到介质冲击 力的作用。因此对于弯头来讲,介质的冲击力是持续载 荷,对于支架结构而言,介质的冲击力是偶然载荷。

b)通过简例计算可知,积液速度对管道推力有非常 重要的影响。对于大口径管道而言,通常只会有少量积 液,影响积液速度的主要因素是气体流速;大量积液一 般只会存在于小口径管道中,除了气体流速的影响外, 更多影响积液速度的是压差。大多数情况下积液的流速 变化很难精确计算,需要大量的试验和进一步理论研 究,在此仅作了部分探索性的理论分析和研究工作。

c)在管中存有大量积液的情况下,液柱在气体介质 的挤压和推动下,先做初速度为0、加速度减小的加速运 动, 当加速度减小到0时, 积液前后压差与摩擦阻力平 衡,假设管道足够长,积液速度达最大值,此后积液将在 摩擦阻力与压差的平衡作用下匀速运动。积液越多,液 体的摩擦阻力越大, 积液所能达到的最高速度就越小。 在管道设计过程中,应尽量避免积液的产生,从工艺上 避免危害发生。

d)此外,积液的运动形式也是柱塞流的一个单元模 拟,可以依据气柱给液柱的推力影响分析对柱塞流进一 步研究,多个液柱、气柱的排列影响,相当于多个流体压 力波相互叠加。

第31 卷 第5期

参考文献:

- [1] 黄 坤,吴世娟,卢泓方,等.沿坡敷设输气管道应力分析 [J]. 天然气与石油, 2012, 30(4):1-4.
 - Huang Kun, Wu Shijuan, Lu Hongfang, et al. Analysis on Stress of Gas Pipeline Laid along Slope [J]. Natural Gas and Oil, 2012,30(4):1-4.
- [2] 沙晓东,陈晓辉,黄 坤,等. 输气管道应力影响因素分析 []]. 天然气与石油, 2013,31(1):1-4.
 - Sha Xiaodong, Chen Xiaohui, Huang Kun, et al. Analysis on Factors Affecting Stress in Gas Pipeline [J]. Natural Gas and Oil, 2013, 31(1):1-4.
- [3] 唐永进. 压力管道应力分析[M]. 北京: 中国石化出版社,
 - Tang Yongjin. Stress Analysis of Pressure Pipeline [M]. Beijing: China Petrochemical Press Co., Ltd., 2010.
- [4]赵 昕,张晓元,赵明登,等.水力学[M].北京:中国电力出 版社,2011.
 - Zhao Xin, Zhang Xiaoyuan, Zhao Mingdeng, et al. Hydraulics [M]. Beijing: China Electric Power Press, 2011.
- [5] 陈卓如,金朝铭,王洪杰,等. 工程流体力学[M].北京:高等 教育出版社,2004.
 - Chen Zhuoru, Jin Chaoming, Wang Hongjie, et al. Engineering Fluid Mechanics[M]. Beijing: Higher Education Press, 2004.
- [6] 谭天恩, 窦 梅, 周明华, 等. 化工原理[M]. 北京: 化学工业 出版社,2009.
 - Tan Tianen, Dou Mei, Zhou Minghua, et al. The Principle of Chemical Engineering [M]. Beijing: Chemical Industry Press, 2009.